

ژئوشیمی و پتروژن توده‌های نفوذی اسیدی الیکو-میوسن شمال باختر شهر بابک، کرمان

غلامرضا قدمی^{۱*}، عباس مرادیان شهر بابک^۲ و سیدمحسن مرقوضی^۱

^۱ استادیار، گروه زمین‌شناسی، دانشگاه هرمزگان، هرمزگان، ایران

^۲ دانشیار، گروه زمین‌شناسی، دانشگاه شهیدبهشتی، کرمان، ایران

تاریخ پذیرش: ۱۳۹۲/۰۳/۲۱ تاریخ دریافت: ۱۳۹۱/۱۲/۱۳

چکیده

در جنوب خاوری کمریند ماقمایی ارومیه-دختر و شمال باختری شهرستان شهر بابک، منطقه جوزم، خبر و دهچ بیش از ۲۰ توده نفوذی بدرون سنگ‌های قدیمی تر نفوذ کرده‌اند. برخی از نوع توانایی تا گرانودیوریت است و سن آنها الیکومیوسن گزارش شده است. بافت آنها گرانیتوییده‌ای کمان آتشفشاری (نوع I) تشکیل شده‌اند. این پایه داده‌های ژئوشیمیایی سرشت ماقمایی این سنگ‌ها کالکوآلکالن بوده و در یک حاشیه فعال قاره‌ای، متعلق به گرانیتوییده‌ای کمان آتشفشاری (نوع I) تشکیل شده‌اند. این سنگ‌ها از عناصر LILE غنی و از عناصر HFSE مانند Ti، Nb و Ta تهی شده‌اند و در نمودار بهنجارشده با گوشه‌ای دارای نشانگر یک الگوی بهشدت تفرقی یافته از عناصر خاکی کمیاب و بدون بی‌هنگاری منفی اوروپیم هستند. این سنگ‌ها دارای مقادیر بالای SiO_2 ، Al_2O_3 ، Sr ، La/Yb و MgO و Y و Nb و Ta نسبت به سنگ‌های کالکوآلکالن معمولی هستند و در آنها ویژگی‌های آداکیتی دیده می‌شود. مقادیر بالای استراتسیم، نبود بی‌هنگاری منفی اوروپیم، غنی شدگی عناصر خاکی کمیاب سبک، تهی شدگی عناصر خاکی کمیاب سنگین، Y و Nb یک سنگ ذوب یک منشأ دارای گارنت و هورنبلند در نبود پلازبیوکلاز است. بر پایه اقیانوسی بالا و نسبت‌های بهدست آمده این سنگ می‌تواند از ذوب گارنت-آمفیولیت یا آمفیولیت-اکلوژیت حاصل شوند که احتمالاً حاصل از فروزانش سنگ کره اقیانوسی نوتیس به زیر قاره ایران مرکزی است.

کلیدواژه‌ها: توانایی، گرانودیوریت، نوتیس، آداکیت، ارومیه-دختر.

*نویسنده مسئول: غلامرضا قدمی

E-mail:ghadamigholamreza@yahoo.com

۱- پیش‌گفتار

سنگ‌های آلکالن نیز در پهنه ماقمایی ارومیه-دختر به صورت محلی گزارش شده است (Amidi et al., 1984; Moradian, 1997) و برخی به یک مدل کافی در مورد سنگ‌های ماقمایی ارومیه-دختر باور دارند (Amidi et al., 1984). فعالیت آتشفشاری آلکالی (5-6Ma) به دنبال فعالیت آتشفشاری کالکوآلکالن در ارومیه-دختر صورت گرفته است و یک قطعه جدایش از پوسته اقیانوسی در ژرفای زیاد تولید مذاب آلکالی کرده است (Berberian & King, 1981; Berberian & Berberian, 1981).

در این پژوهش به بررسی سنگ‌های نفوذی اسیدی الیکو-میوسن در بخش جنوب خاوری کمریند ماقمایی ارومیه-دختر پرداخته و اهداف زیر دنبال می‌شود:

- سنگ‌نگاری توده‌های نفوذی الیکو-میوسن منطقه مورد مطالعه.
- بررسی ویژگی‌های ژئوشیمیایی و نوع ماقمایی مادر سازنده سنگ‌های نفوذی منطقه.

- تعیین محیط زمین‌ساختی سنگ‌های منطقه مورد مطالعه.

- خاستگاه و سازوکارهای احتمالی تولید ماقمایی اسیدی سازنده این سنگ‌ها.

۲- موقعیت زمین‌ساختی

منطقه مورد مطالعه در جنوب خاوری کمریند ماقمایی ارومیه-دختر و در شمال باختری شهرستان شهر بابک میان طول‌های جغرافیایی $۳۰^{\circ} - ۳۰^{\circ} ۵۵^{\circ}$ و عرض‌های جغرافیایی $۱۵^{\circ} - ۴۵^{\circ}$ جای گرفته است (شکل ۱)، این منطقه میان دو گسل رفسنجان و نایین-بابت (شهر بابک) قرار گرفته است. در این ناحیه بیش از ۲۰ توده نفوذی گرانیتوییدی به سن الیکومیوسن به درون سنگ‌های آتشفشاری کمریند ماقمایی ارومیه-دختر و قدیمی تر نفوذ کرده است که در یک شرایط ویژه زمانی و مکانی در ارتباط با دیگر سنگ‌های ماقمایی منطقه تشکیل شده‌اند و قطعاتی از آنها را به صورت آنکلاو درون خود دارند.

گسترش این توده‌های نفوذی میان ۱ تا ۵۰ کیلومتر مربع متغیر است و بزرگ‌ترین

مجموعه کوه‌های تیس از جوش خوردن قطعات قاره‌ای پراکنده گندوانا و لوراسیا شکل گرفته است (Alavi, 2004; Berberian & King 1981; Ghasemi & Talbot, 2006; Mohajjel et al., 2003). در این مجموعه ۳ عنصر زمین‌ساختی اصلی با روند شمال باختری-جنوب خاوری در ایران شناسایی شده است که حاصل جوش خوردن قاره عربستان و میکروقاره ایران است، این عناصر شامل چین خورده-راندگی زاگرس است (شکل ۱)، (Alavi, 2004; Mohajjel et al., 2003; Alavi, 2006). کمریند ماقمایی ارومیه-دختر شامل سنگ‌های نفوذی و آتشفشاری به سن اثوسن تا کواترنری به عرض ۱۵۰ تا ۱۸۰ کیلومتر و طول ۴ کیلومتر و سمترا ۵۰ کیلومتر با روند شمال باختر-جنوب خاور است (Alavi, 2004).

اوج فعالیت ماقمایی این کمریند مربوط به ائوسن است (Alavi, 2004; Jung et al., 1976). بسیاری از زمین‌شناسان ماهیت سنگ‌های کمریند ماقمایی ارومیه-بزمان را به فروزانش نوتیس به زیر اوراسیا نسبت می‌دهند (Mohajjel et al., 2003). این باورند که برخورد صفحه عربی با ایران مرکزی در ائوسن بالای الیکوسن پایین است و فروزانش نوتیس به زیر ایران مرکزی در نوئن ادامه یافته است (Agard et al., 2005 & 2011). هر چند در باره زمان برخورد اتفاق نظر وجود ندارد، با این وجود فعالیت ماقمایی پس از برخورد که از اوخر میوسن شروع شده تا کواترنری ادامه یافته است (Berberian & King 1981; Ghasemi & Talbot, 2006). در مورد علل ماقماییسم در ارومیه-دختر می‌توان به ذوب گوه گوشه‌ای بالای فروزانش که در اثر سیال‌های آزادشده از پوسته اقیانوسی متاسomatیسم شده است، ذوب پوسته اقیانوسی، ذوب پوسته قاره‌ای زیرین در اثر نفوذ ماقمایهای بازالتی ژرف، یا ذوب پوسته قاره‌ای زیرین به دنبال دگرگونی، افزایش چگالی و فرو افتادن به درون گوشه‌ای بالای اشاره کرد (Keskin, 2003).

معمولًاً به صورت درشت بلورهای اولیه وجود دارند، گاه نیز از تجزیه و تبدیل آمفیبیول‌ها حاصل شده‌اند که در این صورت بی‌شکل و همراه با کانی‌های کدر هستند (شکل ۳) و گاه به صورت ریز بلورهایی در زمینه سنگ حضور دارند. یکی از نکات قابل توجه در سنگ‌های نفوذی بالا تبدیل آمفیبیول به بیوتیت است. به طور کلی کاهش فشار کل نسبت به فشار بخار آب همراه با افت دما در این توده‌ها سبب واکنش آمفیبیول و تشکیل بیوتیت همراه با کانی‌های کدر شده است، از سوی دیگر نفوذ ماگماهای جدید به اتاق ماگمایی سبب افزایاد دما و تشدید واکنش‌های اخیر شده است که نتیجه آن افزایش میزان آب، فوگاسیته اکسیژن و امتصاص ناپذیری بیشتر است، در این شرایط کانی‌های مگنتیت و بیوتیت در پیرامون آمفیبیول تبلور می‌یابند و با کاهش دما میدان پایداری بیوتیت نسبت به آمفیبیول افزایش می‌یابد، این وضعیت‌های غیر تعادلی سبب تبدیل آمفیبیول به بیوتیت خواهد شد (Ferrow, 1968; Shelly, 1993). (شکل ۳).

کوارتز به صورت بی‌شکل و ریزبلور میان کانی‌های زمینه را پر کرده است و نشان از تشکیل آن در آخرین مرحله تبلور دارد.

معمول ترین کانی‌های نفوذی در سنگ‌های فرعی در منطقه آپاتیت، زیرکن و کانی‌های کدر (اکسیدهای آهن، تیتانیت) است که بیشتر به صورت میانبارهایی در کانی‌های داشت‌بلور (پلازیوکلاز، آمفیبیول و بیوتیت) یا به صورت دانه‌های ریزی در پیرامون آمفیبیول‌ها و بیوتیت‌ها و یا در متن سنگ پراکنده هستند.

بررسی‌های حاصل از سنگ‌نگاری توده‌های توپالیت- گرانوپوریتی نشان می‌دهد که این سنگ‌ها در ۳ مرحله تبلور شده‌اند، در مرحله اول آمفیبیول‌ها و پلازیوکلازهای اولیه شکل گرفته‌اند، در مرحله دوم بالآمدگی ماگما به افق‌های بالاتر و افزایش فشار مواد فرار در مخزن ماگمایی سبب جابه‌جایی منحنی‌های سالیدوس و لیکویدوس شده و پلازیوکلازهای اولیه کمی انحلال یافته و یک حاشیه ابری در پیرامون آنها تشکیل شده است، در این مرحله نسل دوم پلازیوکلازهای بدون حاشیه ابری متبلور، برخی از آمفیبیول‌ها نیز به بیوتیت تبدیل و بیوتیت‌های خودشکل نیز متبلور شده‌اند. در مرحله سوم که ریزبلورها و متن سنگ متبلور شده است، فلدسپارهای قلایی، پلازیوکلازهای سدیک، کوارتز و کانی‌های فرومیزین به صورت ریزبلورهایی فضای میان بلورهای درشت را پر کرده است.

۵- ژئوشیمی

نتایج تجزیه شیمیایی سنگ‌های منطقه مورد مطالعه در جدول ۱ آورده شده است. بر پایه نتایج تجزیه شیمیایی، این سنگ‌ها در نمودار سه‌تایی (Ab-An-Or) در گستره توپالیت و گرانوپوریت در یک موقیت نزدیک به هم قرار گرفته‌اند (شکل ۴). همچنین این سنگ‌ها متألمینوس با نسبت Al₂O₃/(CaO+Na₂O+K₂O)=1.5-2 هستند (شکل ۵). (Maniar & Piccoli, 1989).

اکسیدهای عناصر اصلی، فرعی و کمیاب در برابر SiO₂ (نمودارهای هارکر) روندهای مختلفی را به نمایش می‌گذارند. Na₂O، CaO، MgO، P₂O₅، FeO، MnO با افزایش درصد سیلیس یا روند تفرقی کاهش می‌یابند، همچنین عناصر سازگار کمیاب مانند V، Co و Ni نیز یک روند کاهشی از خود نشان می‌دهند (شکل‌های ۶ و ۷)، ولی عناصر ناسازگار Zr، Hf و Cs نمایشگر یک روند افزایشی هستند، چون وارد شبکه سیلیکات‌های متبلور نمی‌شوند و تمرکز آنها در ماگمای باقیمانده افزایش می‌یابد (شکل‌های ۶ و ۷). تغییرات افزایشی یا کاهشی منظم اکسیدها و عناصر بالا نشانگر ارتیاط خویشاوندی سنگ‌های توده‌های مختلط با یکدیگر و منشأ گرفتن از یک ماگمای مادر است.

به منظور تعیین سری ماگمایی، از نمودارهای مختلفی استفاده شده است؛ در نمودار SiO₂-Na₂O-K₂O در برابر $\frac{SiO_2}{Na_2O+K_2O}$ سنگ‌های منطقه مورد مطالعه در محدوده ساب آلکالن قرار می‌گیرند (شکل ۸). در نمودار

آنها در شمال باخته خبر قرار دارد. توده‌های نفوذی بیشتر با پتانسیل هایی از کانسارتزایی مس همراه هستند که می‌توان به گودکلباری، سلطان‌آباد، ایزو و کدر اشاره کرد. این سنگ‌ها بافت گرانوپوریتی دارند و درشت‌بلورهای پلازیوکلاز، آمفیبیول و بیوتیت در نمونه دستی آنها قابل شناسایی است. رنگ هوازده آنها قهوه‌ای روشن تا تیره است که حاصل از اکسایش و هیدرولیز کانی‌های فرمونیزین (آمفیبیول و بیوتیت) است. رنگ تازه این سنگ‌ها در نمونه دستی خاکستری است که بسته به میزان کانی‌های فرمونیزین متغیر است.

۳- روش بررسی

در حدود ۱۵۰ نمونه از توده‌های سنگ‌های نفوذی در مطالعات صحرایی گردآوری و بیش از ۶۰ نمونه برای تهیه مقطع نازک انتخاب شد و مورد مطالعه دقیق سنگ‌نگاری قرار گرفت. پس از بررسی مقاطع نازک در زیر میکروسکوپ، نمونه‌های مناسب که نماینده کل سنگ‌های منطقه بودند برای تعیین دقیق اکسیدهای عناصر اصلی، عناصر فرعی و کمیاب خاکی انتخاب شد. تجزیه نمونه‌ها توسط شرکت ACME در کانادا انجام شده است. اکسیدهای عناصر اصلی به روش ICP-ME و عناصر فرعی و کمیاب به روش ICP-MS انجام گرفته که نتایج آن در جدول ۱ آورده شده است.

۴- سنگ‌نگاری

توده‌های نفوذی اسیدی اسیدی توپالیت و گرانوپوریت است که در نوع پلازیوکلاز و درصد کانی‌های تیره با هم اختلافات جزئی دارند و در نمودارهای تقسیم‌بندی نزدیک قرار می‌گیرند (شکل ۴). این سنگ‌ها بیشتر دارای بافت گرانوپوریتی متوسط تا ریزدانه و درشت‌بلورها شامل پلازیوکلاز، هورنبلند و بیوتیت هستند که در زمینه‌ای از کانی‌های ریز بلور قرار گرفته‌اند. کانی‌های فرعی شامل کدر، آپاتیت و زیرکن است. در اینجا به شرح مختصرو از کانی‌های اصلی پرداخته می‌شود:

پلازیوکلازها از کانی‌های اصلی سازنده این سنگ‌ها هستند و بیشترین فراوانی یعنی ۲۵ تا ۵۰ درصد حجم سنگ را به خود اختصاص داده‌اند، بیشتر به صورت درشت‌بلورهای شکل دار تا نیمه‌شکل دار هستند، اندازه آنها بین ۰/۵ تا ۳ میلی‌متر است و در محدوده الیکوکلاز- آندزین قرار می‌گیرند. گاه دارای میانبارهای از مگنتیت، بیوتیت، آمفیبیول، آپاتیت و زیرکن هستند. ساختار زونه، ماکل‌های پلی‌ستنتیک و ساختار زونه دارند. برخی از آنها دارای یک حاشیه ابری یا ازحلال یافته و دسته دوم پلازیوکلازهای بدون حاشیه ابری هستند (شکل ۳). پلازیوکلازهای زمینه نیز ماکل‌های باریک پلی‌ستنتیک دارند و احتمالاً سدیکتر از درشت‌بلورهای پلازیوکلاز هستند.

فلدسپارهای قلایی به صورت بلورهای ریز در متن سنگ پراکنده هستند و پس از پلازیوکلازها فراوان‌ترین کانی سنگ‌ساز به شمار می‌شوند، در زیر میکروسکوپ نوع آن قابل تشخیص نیست، ولی آنچه مسلم است سرعت سرد شدن بالا مانع از رشد آنها در انتهای تبلور شده است.

آمفیبیول‌ها به سنگ سبز تا سبز متمایل به قهوه‌ای هستند و پس از فلدسپارهای قلایی فراوان‌ترین کانی فرمونیزین سنگ‌ساز هستند. این کانی به دو صورت بلورهای درشت اولیه و گاه بلورهای ریزتر و سوزنی در زمینه سنگ نیز حضور دارند، اندازه آنها بین ۰/۵ تا ۲ میلی‌متر است. در برخی مقاطع به صورت میانبار درون درشت‌بلورهای پلازیوکلاز حضور دارند که نشان از تبلور مقدم آنها بر پلازیوکلاز و بالا بودن فشار مواد فرار در اولین مراحل تبلور دارد. گاه تحت تأثیر آب‌های گرم به کانی‌های ثانویه همچون کلریت، کلسیت و گاه بیوتیت و اکسید آهن تجزیه شده‌اند (شکل ۳). بیوتیت‌ها پس از آمفیبیول‌ها فراوان‌ترین کانی فرمونیزین سنگ‌ساز به شمار می‌روند،

۶- بحث و بررسی

نتایج بررسی ژئوشیمیابی سنگ‌های نفوذی منطقه مورد مطالعه نشان می‌دهد که این سنگ‌ها متا آلومینوس هستند (شکل ۵) و در نمودارهای تعیین سری ماقمایی در گستره کالکو‌آلکالن قرار می‌گیرند (شکل‌های ۱۳ و ۱۴)، همچنین در گستره گرانیت‌های نوع I قرار گرفته‌اند (شکل ۱۱). این سنگ‌ها در نمودارهای تعیین محیط زمین‌ساختی در محیط حاشیه فعال قاره‌ای قرار گرفته‌اند و متعلق به محیط‌های فروراشی هستند (شکل‌های ۱۲، ۱۳ و ۱۴). منابع احتمالی تولید ماگما در پهنه‌های فروراشی شامل گوه گوشته‌ای، سنگ کره اقیانوسی فرورونده و پوسته قاره‌ای زیرین است که به بررسی هر یک از آنها پرداخته می‌شود:

در پهنه‌های فروراشی معمولی شیب زمین‌گرمایی در امتداد زون بنیوف پایین است و پیش از رسیدن به دمای سالیدوس تولیت آب خود را از دست می‌دهد، آزاد شدن سیال‌های غنی از عناصر لیتوفیل بزرگ‌یون (LILE) و نفوذ آنها به درون گوه گوشته‌ای باعث ماتاسوماتیسم و ذوب بخشی گوشته خواهد شد (Wolf & Wyllie, 1994; Rosu et al., 2004; Martin et al., 2004) در این مجموعه ماقمایی‌های کالکو‌آلکالن با منشأ گوشته ماتاسوماتیزه با یک باقیمانده مشکل از الیوین، کلینوپیروکسن و ارتوپیروکسن در تعادل خواهند بود که ماقمایی‌های غنی از الیوین، کلینوپیروکسن و پلازیوکلاز در منشأ تشکیل ماقمایی‌های کالکو‌آلکالن است (Willson, 1989; Green et al., 1989; Martin, 1999).

به فرض تولید ماگماها از منشأ گوشته‌ای، سنگ‌ها باید دارای $Mg\#$ در حدود ۶۸ تا ۷۵ باشند (Willson, 1989; Green et al., 1989; Green, 1989) زیرا ماقمایی گوشته‌ای با الیوین غنی از منیزیم ($Fo=86-90$) در حال تعادل خواهند بود. در حالی که در سنگ‌های نفوذی منطقه مورد مطالعه $Mg\#$ بین ۲۰ تا ۵۲ است (جدول ۱)، با فرض تفریق الیوین، اسپینل، کلینوپیروکسن و پلازیوکلاز نیز تشکیل این سنگ‌ها از منشأ گوشته‌ای محتمل نیست؛ زیرا نبود واحدهای مافیک (گابرو و بازالت) همراه و همزمان با توده‌های گرانیت‌ویدی منطقه و مقادیر پایین Sr^{87}/Sr^{86} نشانگر نبود تفریق در ماقمای مادر این سنگ‌هاست (Ghadami, 2008).

از سوی دیگر ماقمایی‌های با منشأ گوشته‌ای در ارای مقادیر بالایی از نیکل، کروم و اسکاندیم هستند که در سنگ‌های منطقه مورد مطالعه میزان این عناصر بهشت پایین است و قابل مقایسه با ماقمایی‌گوشته‌ای نیست (جدول ۱).

از سوی دیگر در ماقمایی‌گوشته‌ای مقادیر Yb و Y/Yb بین ۶/۵ تا ۲۵ است که مربوط به منشأ پریدوتیتی گوشته‌ای باشند و بدون حضور گارنت است (Willson, 1989; Green et al., 1989)، ولی در سنگ‌های منطقه مورد مطالعه Yb و Y/Yb پایین است ($Yb<18ppm$ و $Y>1.8ppm$) (جدول ۱). با توجه به ویژگی‌های ماقمایی گوشته‌ای و نتایج حاصل از تجزیه سنگ‌های منطقه مورد مطالعه منشأ گوشته‌ای برای آنها نامحتمل است و بنابراین دیگر منابع تولید ماگما در پهنه‌های فروراشی با توجه به ویژگی‌های ژئوشیمیابی سنگ‌ها مورد بررسی قرار می‌گیرد:

سنگ‌های تونالیتی - گرانوپوریتی منطقه مورد مطالعه دارای مقادیر بالاتری از SiO_2 و Yb/Sr و La/Yb و مقادیر پایینی از Y ، MgO و Yb نسبت به سنگ‌های نفوذی آهکی - قلایی معمول هستند (جدول ۱). سنگ‌های یادشده در نمودارهای عنکبوتی از عناصر LILE و Sm/Yb غنی شدگی و از عناصر Ti ، Nb و Ta بهی شدگی نشان می‌دهند و بدون بی‌هنجری منشأ منشأ گوشته‌ای در گرانوپوریتی منطقه مورد مطالعه در محدوده پایداری آمیبول و گارنت قرار گرفته‌اند (شکل ۱۸) و نشانگر پایداری گارنت و آمیبول در منشأ تشکیل ماقمایی این سنگ‌هاست. در نمودار Th/Ce در برابر La/Sr که منشأ آدکیت‌ها را از یکدیگر جدا می‌کند (Chung et al., 2005) نموده‌های تونالیتی و گرانوپوریتی منطقه در گستره آدکیت‌ها قرار گرفته و از محدوده آدکیت‌های با منشأ ورقه فروراشی و محدوده متعلق به کمان ماقمایی واقع شده است (شکل ۱۹).

K_2O در برابر O نیز سنگ‌های منطقه در محدوده کالکو‌آلکالن جای گرفته‌اند (شکل ۹؛ Peccerillo & Taylor, 1976) و در نمودار AFM نیز نمونه‌های مورد مطالعه روند کالکو‌آلکالن را دنبال می‌کنند (شکل ۱۰؛ Irvine & Baragar, 1971). در نمودار Na_2O در برابر K_2O که منشأ گرانیت‌ها را از یکدیگر جدا می‌کند، نمونه‌های منطقه مورد مطالعه در محدوده گرانیت‌های نوع I یا سری مگنتیتی قرار گرفته‌اند (شکل ۱۱؛ White & Chappel, 1983)، که با حضور کانی‌های مافیک هوربلند و بیوتیت و عدم حضور مسکوویت، گارنت، کردیریت و مقادیر $K_2O / Na_2O < 1$ برای تعیین محیط زمین‌ساختی نیز از نمودارهای مختلفی استفاده شد، به طوری که نمونه‌ها در نمودارهای جداکننده حاشیه‌های فعال (Schandl & Gorton, 2002) در حاشیه فعال قاره‌ای جای گرفته‌اند (شکل ۱۲) و در نمودار $Nb / Rb/Zr$ نمونه‌های منطقه در حاشیه فعال قاره‌ای جای گرفته‌اند (Pearce et al., 1984) (Brown et al., 1984). همچنین در نمودارهای (Shakl ۱۳) بنابراین سنگ‌های فروراشی آتشفسانی کمان‌های آتشفسانی قرار گرفته (شکل ۱۴)، بنابراین سنگ‌های نفوذی منطقه مورد مطالعه در یک حاشیه فعال قاره‌ای و در یک فروراشی توسعه یافته‌اند.

الگوی عناصر کمیاب نمونه‌ها که با گوشته اولیه بهنجار شده است، همگی روند همانندی نشان می‌دهند، به طوری که از $LILE$ (Th, Ba, Rb, Sr, Yb, Y, Ti , Nb و Hf) تهی شده‌اند (شکل ۱۵). بی‌هنجری منفی Ti و Zr و Ta و شاستگی ماقمایی سازنده این سنگ‌ها به پهنه فروراش است (Gill, 1981; Willson, 1989) نتایج حاصل از عناصر خاکی کمیاب نیز که به گوشته اولیه بهنجار شده‌اند، نشان می‌دهد که نمونه‌های منطقه مورد مطالعه از $LREE$ غنی و از $HREE$ بهشدت فقری شده‌اند و بدون بی‌هنجری منفی Eu هستند (شکل ۱۶).

ولی نمونه‌های منطقه مورد مطالعه در نمودار Y در برابر Yb که برای جدا کردن سنگ‌های کالکو‌آلکالن عادی و آدکیتی ارائه شده است در گستره آدکیت قرار می‌گیرند (Defant & Drummond, 1990; Defant & Kepezhinskas, 2001; Martin & Rollinson, 2005; Defant & Kepezhinskas, 2001; Martin & Rollinson, 2005; Oyarzun, et al., 2002) (شکل ۱۷-الف). همچنین نمونه‌های منطقه مورد مطالعه در نمودار Yb_N در برابر La در گستره آدکیت‌ها قرار گرفته و از سنگ‌های آهکی - قلایی عادی شود (Defant & Drummond, 1990; Defant & Kepezhinskas, 2001; Martin et al., 2004; Oyarzun, et al., 2002; Defant & Kepezhinskas, 2001; Martin & Rollinson, 2005; Martin & Rollinson, 2005; شکل ۱۷-ب).

در نمودار Sm/Yb در برابر La/Sm که نشانگر ترکیب کانی شناسی منشأ ذوب است (Kay & Mpodozis, 2002; Haschke & Guenther, 2003) نمونه‌های توナルیتی و گرانوپوریتی منطقه در محدوده پایداری آمیبول و گارنت قرار گرفته‌اند (شکل ۱۸) و نشانگر پایداری گارنت و آمیبول در منشأ تشکیل ماقمایی این سنگ‌هاست. در نمودار Th/Ce در برابر La/Sr که منشأ آدکیت‌ها را از یکدیگر جدا می‌کند (Chung et al., 2005) نموده‌های توナルیتی و گرانوپوریتی منطقه در محدوده آدکیت‌های با منشأ ورقه فروراشی و محدوده متعلق به کمان ماقمایی واقع شده است (شکل ۱۹).

به منظور تفسیر بهتر نتایج ژئوشیمیابی و ارائه یک منشأ مناسب برای سنگ‌های نفوذی توナルیتی و گرانوپوریتی منطقه مورد مطالعه ۳ نمونه از این سنگ‌ها مورد تجزیه ایزوتوپی استرانسیم قرار گرفت، نسبت Sr^{87}/Sr^{86} در این سنگ‌ها میان 0.704443 تا 0.704460 درصد، مقادیر K_2O / Na_2O (کمتر از $0/5$ درصد)، مقادیر Y / La (۱۰٪، مقادیر پایین ایتریم $18ppm$) و ایتریم ($Yb < 1.5 ppm$) هستند. سنگ‌های یادشده دارای الگوی تفریق یافته عناصر خاکی کمیاب با شیب زیاد

-۷ سازوکارهای تولید ماقمای آداسیتی در جنوب خاوری کمریند

ماگمایی ارومیه- دختر

-۷.۱ ذوب پوسته قاره‌ای زیرین

در اثر افزایش ستبرای پس از جوش خوردگی، پوسته زیرین مافیک قاره‌ای می‌تواند تا رخساره آمفیولیت یا اکلوژیت دگرگون شود و با افزایش چگالی پس از شکستگی بدرون گوشته فرو افتد، این پدیده باعث ذوب پوسته زیرین و تولید ماگمای آداسیتی خواهد شد، و پس از فعلیت ماگمایی نازک شدگی در سنگ کره قاره‌ای رخ خواهد داد، (Castillo, 2006; Xu et al., 2006) ولی ستبرای پوسته در منطقه مورد مطالعه که در حدود ۴۰ تا ۴۵ کیلومتر گزارش شده است (Dehghani & Makris, 1984; Giese et al., 1983; Paul et al., 2006)

نازک شدگی قابل تفسیر نیست.

-۷.۲ ذوب بخشی پوسته قاره‌ای زیرین

در اثر افزایش ستبرای پوسته قاره‌ای زیرین پس از برخورد که به رخساره آمفیول- اکلوژیت یا آمفیولیت- گارنت دار دگرگون شده است، گرمای لازم برای تولید ماگما در این حالت از نفوذ گدازه‌های گوشته‌ای تأمین می‌شود که در زیر پوسته به دام افتاده‌اند (Atherton & Petford, 1993; Rapp & Watson, 1995) افزایش ستبرای در پوسته قاره‌ای ایران پس از برخورد صفحه عربی چندان دور از انتظار نیست، ولی برای تبدیل پوسته قاره‌ای زیرین به گارنت- آمفیولیت و یا اکلوژیت، کمترین ژرفای پیش ۴۰ کیلومتر و فشار بیش از $1/2$ Gpas لازم است (Rapp & Watson, 1995; Martin et al., 2004; Martin & Rollinson, 2005) بر پایه مطالعات اخیر ژرفای مoho از ۴۵ کیلومتر در صفحه عربی تا ۷۰ کیلومتر در زاگرس جنوبی، حوالی شهرستان اثار در پهنه سنتدج- سیرجان گزارش شده است، ولی در زیر کمریند ماگمایی ارومیه- دختر با یک کاهش ناگهانی به ۴۲ کیلومتر می‌رسد (Paul et al., 2006) و این مطلب با دگرگونی پوسته قاره‌ای، ذوب و تولید ماگمای آداسیتی سازگار نیست.

-۷.۳ ذوب بخشی قطعه فروفره پوسته اقیانوسی نوتیس

پوسته اقیانوسی نوتیس در ژرفای معادل با فشار رخساره اکلوژیت- آمفیولیت قرار گرفته است نیز می‌تواند ماگمایی آداسیتی را تولید کند (Defant & Drummond, 1990; Sajona et al., 2000) سریع و مایل (Peacock, 1996; Peacock et al., 1994) که در حالت اخیر سنگ کره اقیانوسی پیش از آبگیری تحت تأثیر گرمای حاصل از تنش برشی و فشاری در محدوده ذوب آمفیول قرار می‌گیرد (Peacock, 1996; Peacock et al., 1994; Peacock, 1996; Sajona et al., 2000).

عامل مؤثر دیگر در تغییرات عناصر در این سنگ‌ها حضور و یا نبود برخی از کانی‌های حامل عناصر فرعی و کمیاب در منشأ ذوب است که می‌توان به نقش پلازیوکلاز، آمفیول، گارنت و کانی‌های تیتانیم دار اشاره کرد. ذوب در شرایط نبود یا ناپایداری پلازیوکلاز موجب افزایش استرانسیم و نبود بی‌هنجری منفی اوروپیم در ماگمای حاصل خواهد شد (Defant & Drummond, 1990; Rosu et al., 2004; Defant & Kepezhinskas, 2001) و مقداری بالای Sr و نبود بی‌هنجری منفی Eu در سنگ‌های منطقه نشانگر نبود پلازیوکلاز در منشأ ذوب این سنگ‌هاست.

حضور هورنبلندها و اکسیدهای آهن و تیتانیم مانند روتیل و ایلمینیت در منشأ ذوب می‌توانند بی‌هنجری‌های منفی نبیوم، تیتانیم و تنتالیم را در ماگما ایجاد کنند (Defant & Kepezhinskas, 2001; Defant & Kepezhinskas, 2004) و تهی شدگی TiNb و Ta نشانگر حضور آمفیول و اکسیدهای تیتانیم در منشأ ذوب این سنگ‌هاست. تیتانیم در منشأ ذوب (و احتمالاً هورنبلند) نیز در باقیمانده حاصل از حضور گارنت

(Ce_N/Yb_N = 11 -38, La/Yb>20) (جدول ۱)، که از ویژگی‌های ماگمایی آداسیتی است (Defant & Drummond, 1990; Defant & Kepezhinskas, 2001; Martin, 1999; Martin et al., 2004; Peacock et al., 1994) سنگ‌ها در نمودارهای جداکننده آداسیت‌ها از سنگ‌های آهکی- قلیایی در گستره آداسیت قرار گرفته‌اند (شکل ۱۷) و تغییرات عناصر در آنها بیش از آنکه متأثر از فرایندهای ماگمایی باشد به منشاً ماگمای مادر آنها مربوط است. در نمودار تعیین کانی شناسی سنگ منشأ نیز پایداری آمفیول و کمتر گارنت را به نمایش می‌گذارند (شکل ۱۸) و بالاخره در نمودار تعیین منشأ آداسیت‌ها نیز در گستره آداسیت‌های با منشأ ورقه فروفره قرار گرفته‌اند (شکل ۱۹).

آداسیت‌ها شامل سنگ‌های اسیدی تا حد واسط آهکی- قلیایی با آلومینیم بالا معرفی شده‌اند که میزان درشت‌بلورهایی از پلازیوکلاز، آمفیول، بیوتیت، گاهی ارتوپیروکسن و بدون کلینوپیروکسن هستند، کانی‌های فرعی این سنگ‌ها نیز تیتانومگنتیت، آپاتیت، زیرکن و تیتانیت است، که حضور آنها همیشگی Peacock et al., 1994; Martin, 1999; Defant & Drummond, 1990; (Defant & Kepezhinskas, 2001; Martin et al., 2004) با ویژگی‌های ژئوشیمیایی برجسته‌ای از جمله: Al₂O₃>15%, SiO₂>56%, Na₂O>3.5%, Yb<1.9, Sr>300ppm, La/Yb>20, Y<18, LREE هستند و در نمودارهای بهنجارشده با کندریت دارای شیب قابل توجهی از بهسوسی در درجات ذوب بخشی در منشأ آنها بستگی دارد، همچنین بدون بی‌هنجری White & Chappel, 1983; Pearce & Parkinson, 1993; Defant & Drummond, 1990; Defant & Kepezhinskas, 2001; Defant & Drummond, 1999 (Martin, 1999) در نمودارهای بهنجارشده با منابع مختلف مانند مگمایی پهنه فرورانش از Th, Ba, Rb, K, Sr, LILE غنی و از Defant & Drummond, 1990; (Taheri et al., 1990; Defant & Kepezhinskas, 2001; Martin et al., 2004 & 2005

یکی از منابع تولید ماگمایی اسیدی تا حد واسط آداسیت ذوب بخشی قطعه فروفره پوسته اقیانوسی داغ و جوان (کمتر از 30Ma) است که در ژرفای معادل با فشار رخساره اکلوژیت- آمفیولیت قرار گرفته است (Defant & Drummond, 1990; Sajona et al., 2000) حضور آداسیت‌ها در دیگر محیط‌های زمین‌ساختی (Maury et al., 1996) دلالت بر این دارد که ذوب پوسته اقیانوسی قدیمی نیز می‌تواند ماگمایی آداسیتی تولید کند، برای نمونه در شروع فرورانش (Sajona et al., 2000) و یا در فروانش سریع و مایل که گرمای حاصل از تنش فشاری و برشی به ذوب سنگ کره اقیانوسی کمک زیادی خواهد کرد (Peacock, 1996; Peacock et al., 1994) سنگ کره اقیانوسی پیش از آبگیری در محدوده ذوب آمفیول قرار می‌گیرد (Peacock, 1996; Peacock et al., 1994; Sajona et al., 2000)

منابع دیگری نیز برای تولید ماگمایی آداسیتی ارائه شده است که عبارتند از:
 - تفرقی بلورین و هضم در یک ماگمای بازالتی (Castillo, 2006)
 - ذوب پوسته قاره‌ای زیرین که به دلیل افزایش چگالی به درون گوشته فروافتاده است (Xu et al., 2002 & 2006; Rapp et al., 2002)
 - ذوب بخشی پوسته زیرین در اثر نفوذ ماگمای بازالتی داغ از بخش‌های ژرف (Rapp et al., 2002; Atherton & Petford, 1993)
 با توجه به ویژگی‌های آداسیتی سنگ‌های نفوذی این بخش از کمریند ماگمایی ارومیه- دختر سازوکارهای احتمالی تولید ماگمای آداسیتی در این منطقه مورد بررسی قرار می‌گیرد:

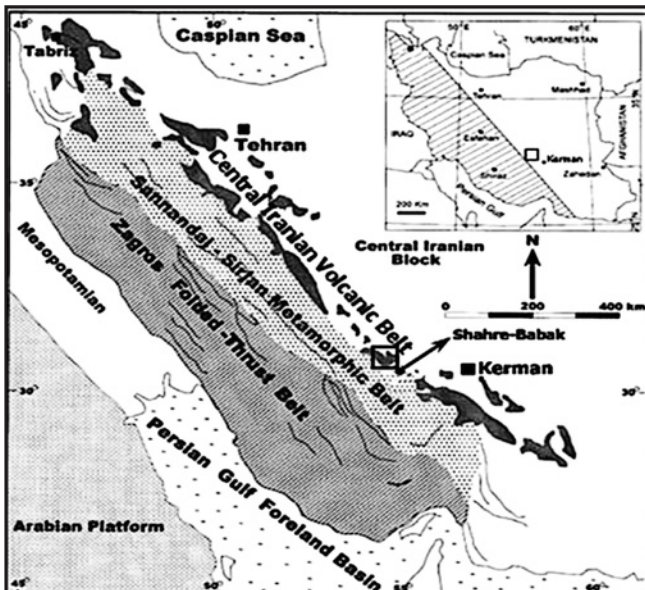
یادشده در نمودارهای عنکبوتی از عناصر LREE و LILE غنی شدگی و از عناصر HFSE تهی شدگی نشان می دهند و بدون بی هنجاری منفی اوروپیم هستند. در نمودارهای جدا کننده آداکیت ها از سنگ های آهکی - قلایابی معمول در گستره آداکیت قرار می گیرند و دارای مقادیر بالای Na_2O (۴/۲۵٪)، مقادیر پایین $\text{K}_2\text{O}/\text{Na}_2\text{O}$ (کمتر از ۰/۵٪ درصد)، مقادیر بالای استرانسیم ۵۸۴ ppm تا ۱۰۴۰٪، مقادیر پایین ایتریم ($\text{Y} < 18\text{ppm}$) و ایتریم ($\text{Yb} < 1.5\text{ ppm}$) هستند، همچنین دارای جداسدگی شدید یا الگوی تفریق یافته عناصر خاکی کمیاب با شیب زیاد ($\text{Ce}_N/\text{Yb}_N = 11-38$, $\text{La/Yb} > 20$) و بدون بی هنجاری منفی اوروپیم هستند که از ویژگی های آداکیت هاست.

مقادیر بالای Sr و نبود بی هنجاری منفی Eu نشانگر نبود پلاژیو کلاز در منشأ ذوب و تهی شدگی TiNb و Ta نیز نشانگر حضور اکسیدهای تیتانیم و آمفیبول است. الگوی تفریق یافته عناصر خاکی کمیاب نیز نشانگر حضور گارنت و آمفیبول در ناحیه منشأ است، با توجه به داده های ژئوشیمیابی بالا منشأ این سنگ ها آمفیبول - آکلوژیت یا گارنت - آمفیبولیت است و فاز باقیمانده ذوب گارنت، یک فاز تیتانیم دار و هورنبلند است.

سنگ منشأ آکلوژیت دار یا گارنت - آمفیبولیت می تواند در طی فرورانش سنگ کره اقیانوسی نوتیس ایجاد شود و فرورانش مایل همزمان با برخورد می تواند پوسته اقیانوسی را در شرایط ذوب پیش از آبگیری آمفیبول قرار دهد و تولید مانگمای آداکیتی در الیکو - میوسن کند.

سپاسکارا

از مسئولان محترم فصلنامه علوم زمین و از داوران محترم برای نظرات سازنده شان در راستای ارائه هر چه مطلوب تر این مقاله سپاسگزاری می شود.



شکل ۱- سه عنصر اصلی واقع در کمرنگی کوهزایی زاگرس (Mohajjel et al., 2003) منطقه مورد مطالعه.

ذوب باعث تهی شدن گذازه از عناصر خاکی کمیاب سنگین می شود (Defant & Drummond, 1990; Defant & Kepezhinskas, 2001; Martin et al., 2004; Martin & Rollinson, 2005)، الگوی تفریق یافته عناصر خاکی کمیاب در سنگ های منطقه نیز نشانگر حضور گارنت و آمفیبول در ناحیه منشأ است که در نمودار کانی شناسی سنگ منشأ نیز نشان داده شد (شکل ۱۸). با توجه به ویژگی های ژئوشیمیابی ارائه شده یک سنگ منشأ آکلوژیت آمفیبول دار یا گارنت - آمفیبولیت حاوی اکسیدهای تیتانیم برای این مجموعه پیشنهاد می شود که می تواند در طی فرورانش سنگ کره اقیانوسی نوتیس ایجاد شود. سنگ کره اقیانوسی فرورفته پس از دگرگونی به اکلوژیت آمفیبول دار یا گارنت - آمفیبولیت می تواند به صورت بخشی ذوب شده (Castillo, 2006) و مانگمای آداکیتی را با ویژگی های سنگ های منطقه تولید کند. پایین بودن میزان کروم، نیکل، اسکاندیم و اکسید میزیم (MgO) در سنگ های منطقه نشانگر تأثیر کم گوشته بر مانگمای سازنده این سنگ هاست.

برخورد صفحه عربی با ایران مرکزی بر پایه مطالعات McClusky et al. (2003) یک برخورد مایل (۴۵ درجه تا ۶۰ درجه در سوی شمال خاوری) بوده است که در اثوسن بالابی - الیگومن صورت گرفته است (Agard et al., 2005 & 2011) و در ناحیه نوار مانگمایی ارومیه - دختر باعث حاکم شدن رژیم تش بشی و فشارشی از انتهای پالتوژن تا سراسر نوژن شده است (McCluske et al., 2003). ادامه فرورانش سنگ کره اقیانوسی نوتیس می تواند باعث ذوب بخشی پوسته اقیانوسی فرورفتé و دگرگونی شده در شرایط فرورانش مایل شود (Peacock, 1996; Peacock et al., 1994; Sajona et al., 2000) و تولید مانگمای آداکیتی نفوذی در الیکو - میوسن را همزمان با برخورد نماید.

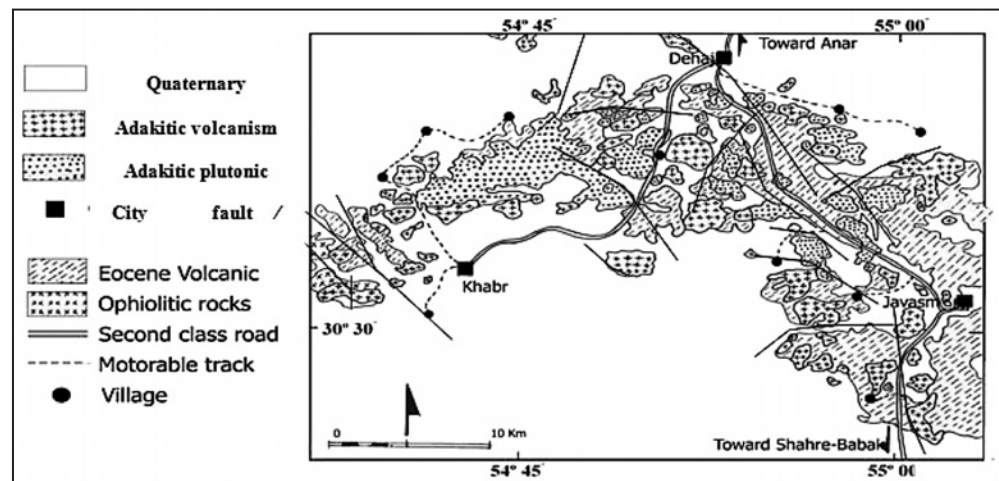
ادامه فرورانش قطعه های از سنگ کره اقیانوسی نوتیس همچنین باعث فعالیت آتششانی آداکیتی میو - پلیوسن پس از برخورد شده است (Jahangiri, 2007; Omrani et al., 2008; Ghadami et al., 2008). این مدل برای بخش هایی از کمرنگ مانگمایی ارومیه - دختر و ترکیه (Keskin, 2003) ارائه شده است. علت فعالیت مانگمایی آداکیتی پس از برخورد نیز ذوب قطعه های از سنگ کره اقیانوسی نوتیس در ژرفای زیاد به عنوان منشأ مانگمای آداکیتی معروفی شده است (Jahangiri, 2007; Omrani et al., 2008; Ghadami et al., 2008).

- نتیجه گیری

توده های نفوذی از نوع تونالیتی - گرانوپورفیری با بافت چیره گرانوپورفیری هستند و درشت بلورها شامل پلاژیو کلاز، فلدسپار قلایابی، آمفیبول و بیوتیت است. پلاژیو کلازها دارای ساختار زونه هستند و در گستره ترکیبی الیکو کلاز - آندزین قرار می گیرند. تشکیل انوع ساختار زونه، حاشیه انحلالی یا ابری در پلاژیو کلازها و تبدیل آمفیبول به بیوتیت را می توان به تغییرات فشار بخار آب در مخازن مانگمایی و جایگیری مانگما در افق های بالابی نسبت داد.

داده های ژئوشیمیابی نشان می دهد که این سنگ ها شامل یک سری مانگمایی آهکی - قلایابی و از نوع متا آلومینوس هستند که در نمودارهای تعیین محیط زمین ساختی در محدوده حاشیه فعال قاره ای قرار گرفته اند و از نوع گرانیتویدهای سری I هستند.

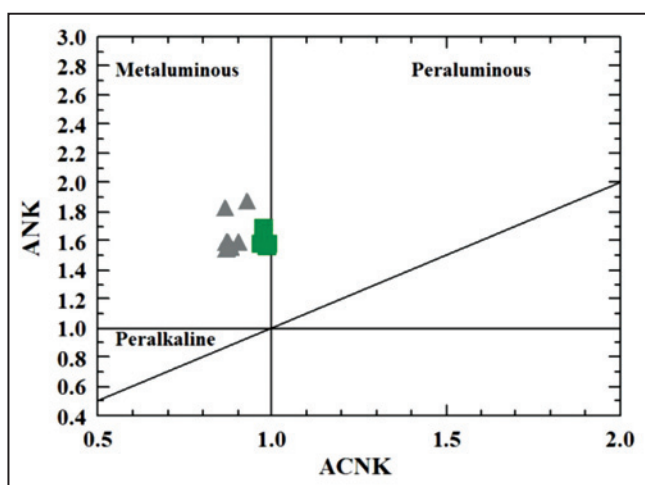
این سنگ ها دارای مقادیر بالاتری از SiO_2 , Sr , La/Yb و MgO نسبت به سنگ های نفوذی آهکی - قلایابی معمول هستند. سنگ های



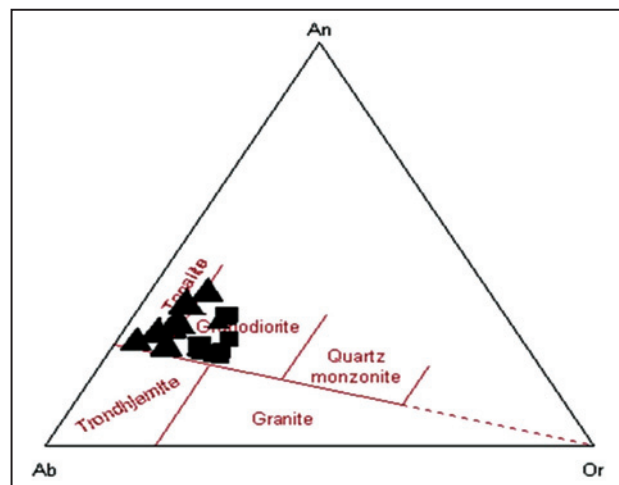
شکل ۲- نقشه زمین‌شناسی منطقه مورد مطالعه برگرفته از نقشه زمین‌شناسی ۱:۲۵۰۰۰۰ آثار، (Dimitrijevic et al., 1971).



شکل ۳- (الف) پلازیوکلاز با حاشیه ابری و انحلال یافته همراه با آمفیبول‌های تجزیه شده در یک بافت پورفیری متوسطدانه در یک نمونه تونالیتی (XPL); (ب) حاشیه‌های انحلالی (ابری) در پلازیوکلازهای با ساختار زوینگ در یک زمینه با بافت پورفیری ریزدانه در یک نمونه گرانودیبوریتی (XPL); (ج) تبدیل آمفیبول به بیوتیت و رشد بعدی بیوتیت، اپاگیتی شدن حاشیه آمفیبول در یک نمونه گرانودیبوریتی (PPL); (د) حضور بیوتیت‌آپاتیت‌دار، آمفیبول سوزنی و شکل دار، همراه با پلازیوکلازهای دارای زوینگ و حاشیه ابری، حضور فلدسپارهای آکالان میکروولیتی در یک زمینه با بافت پورفیری متوسطدانه در یک نمونه تونالیتی (XPL). (XPL)=آمفیبول، Pl=پلازیوکلاز، Bi=بیوتیت، M=بیوتیت، Op=زمینه و Op=Orthopyroxene.

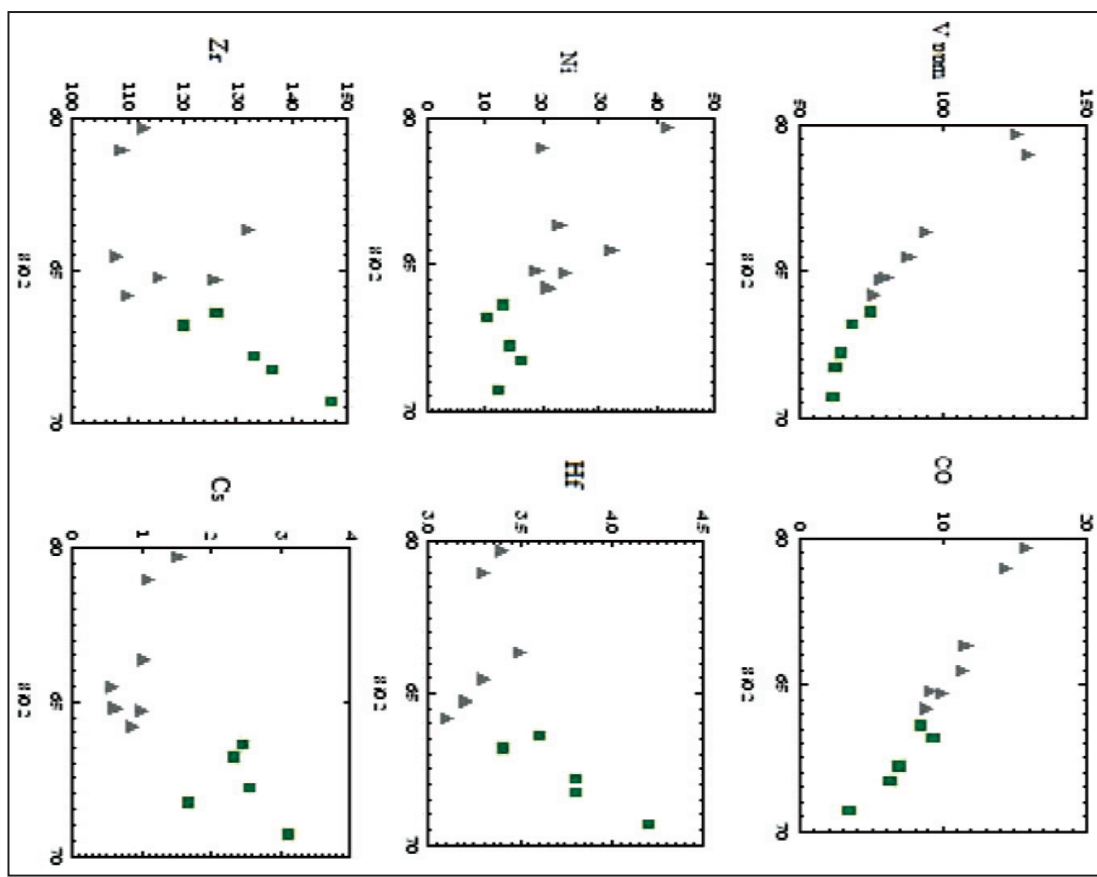


شکل ۵- موقعیت سنگ‌های گرانیتوییدی برای تعیین میزان اشباع بودن آنها از آلومینیم، مقادیر A/CNK و A/NK و A/CNK از: $A/CNK = [\text{Al}_2\text{O}_3]/[\text{CaO} + \text{Na}_2\text{O} + \text{K}_2\text{O}]$ و $A/NK = [\text{Al}_2\text{O}_3]/[\text{Na}_2\text{O} + \text{K}_2\text{O}]$ (شانه‌ها مانند شکل ۴). (Maniar & Piccoli, 1989)

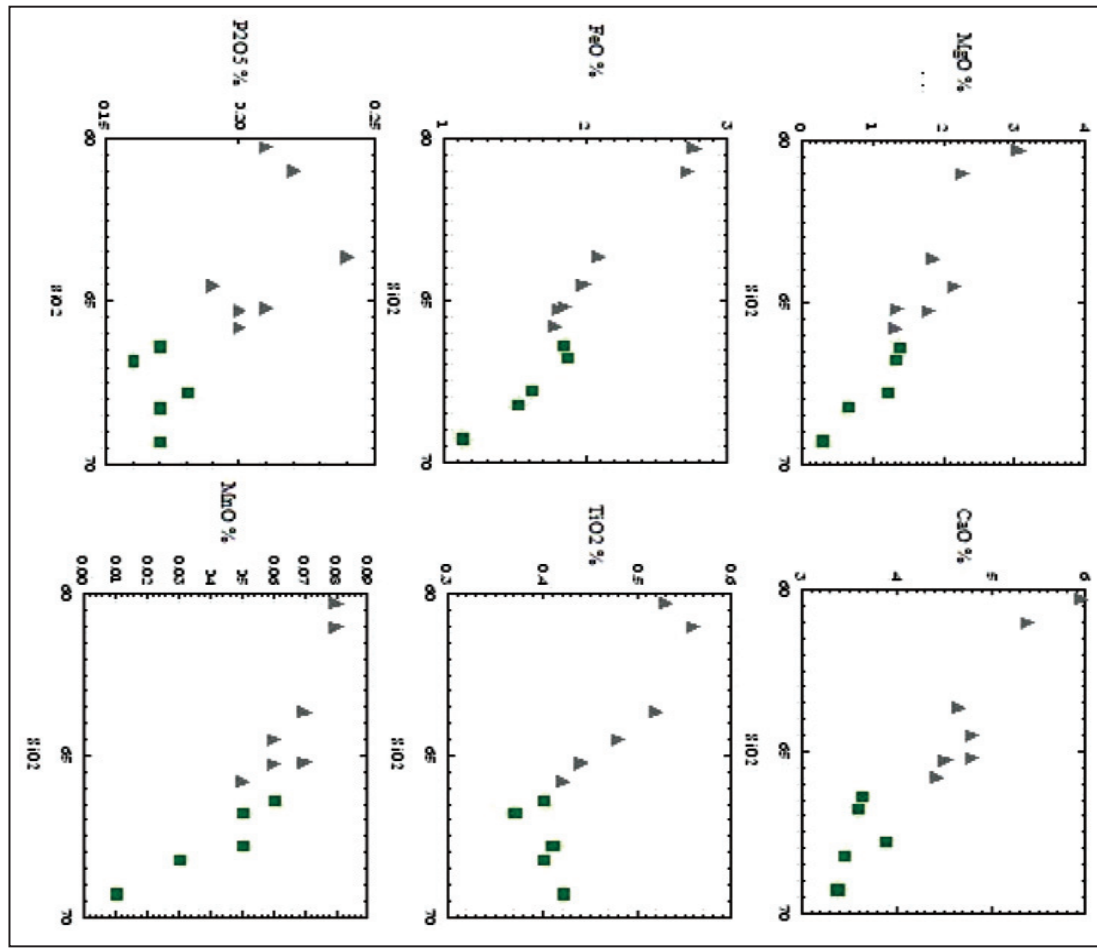


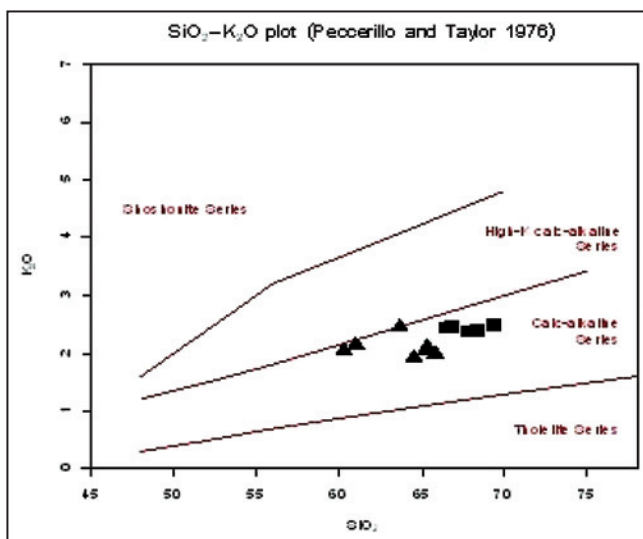
شکل ۶- نام‌گذاری ژئوشیمیایی سنگ‌های گرانیتوییدی منطقه مورد مطالعه، با توجه به میزان آکیت، آورتیت و ارتوز موجود در نورم سنگ‌های منطقه مورد مطالعه، (▲) تونالیت، ■ گرانودیبوریت.

شکل ۷- تغییرات عناصر کمیاب سازگار و ناسازگار در برابر SO_2 (نیسانه ها مانند شکل ۴).

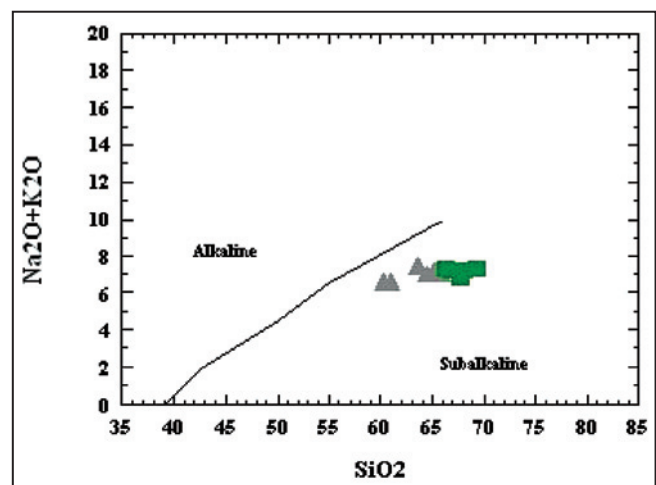


شکل ۹- تغییرات آکسیلهای عناصر اصلی و فرعی در برابر SiO_2 (نتابه‌ها مانند شکل ۴).

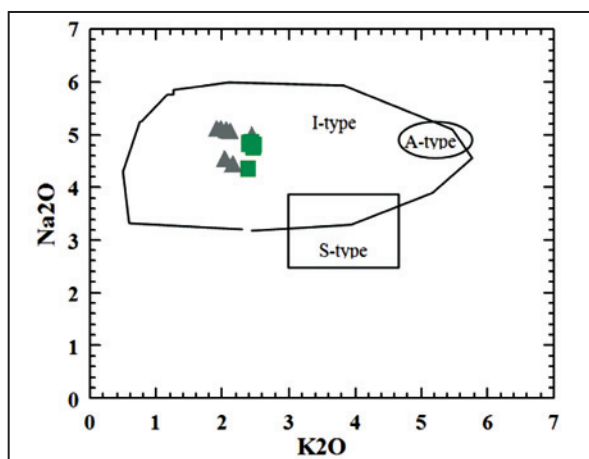




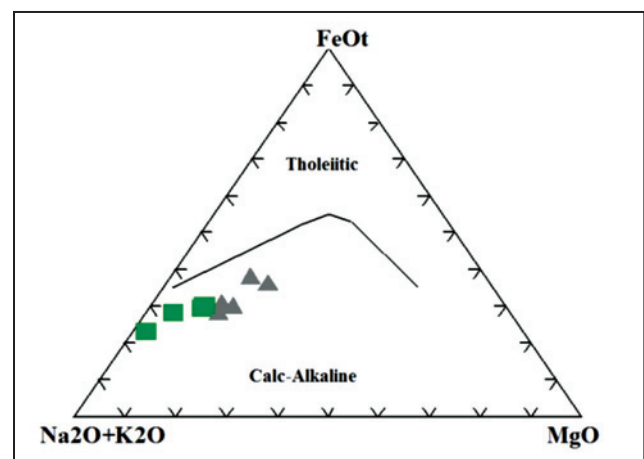
شکل ۹ - نمودار K_2O در برابر SiO_2 سنگ‌های تونالیتی-گرانودیبوریتی که در موقعیت کالکوآلکالن قرار گرفته‌اند (Peccerillo & Taylor, 1976) (نشانه‌ها مانند شکل ۴).



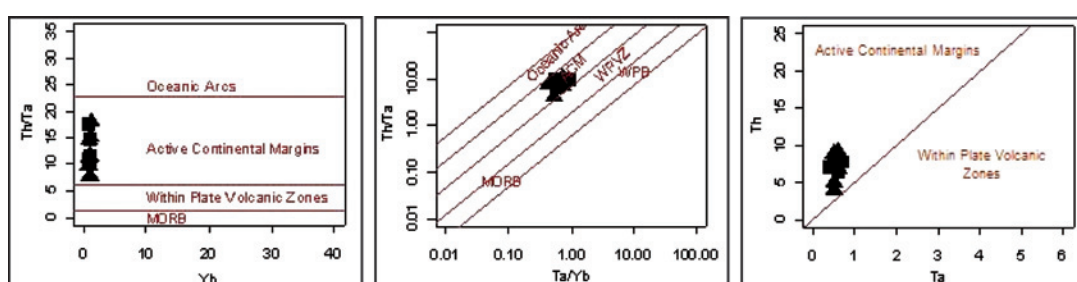
شکل ۸ - نمودار $Na_2O + K_2O$ در برابر SiO_2 سنگ‌های تونالیتی-گرانودیبوریتی (Irvine & Baragar, 1971) (نشانه‌ها مانند شکل ۴).



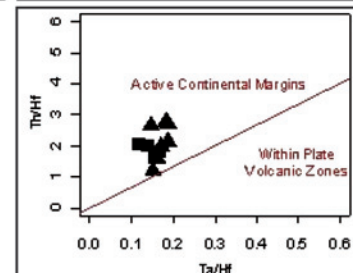
شکل ۱۱ - در نمودار Na_2O در برابر K_2O از White & Chappel (1983) سنگ‌های تونالیتی-گرانودیبوریتی در محدوده گرانات‌های نوع I یا سری مگنتیتی قرار گرفته‌اند (نشانه‌ها مانند شکل ۴).

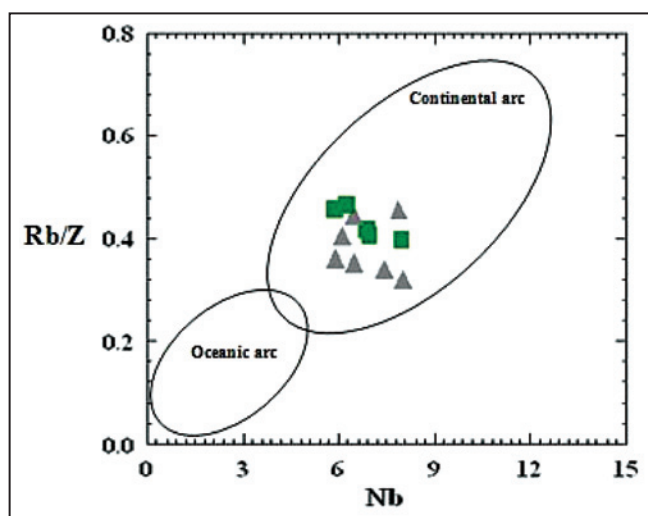


شکل ۱۰ - نمودار AFM سنگ‌های تونالیتی-گرانودیبوریتی (Irvine & Baragar, 1971) که در سری کالکوآلکالن قرار گرفته‌اند (نشانه‌ها مانند شکل ۴).

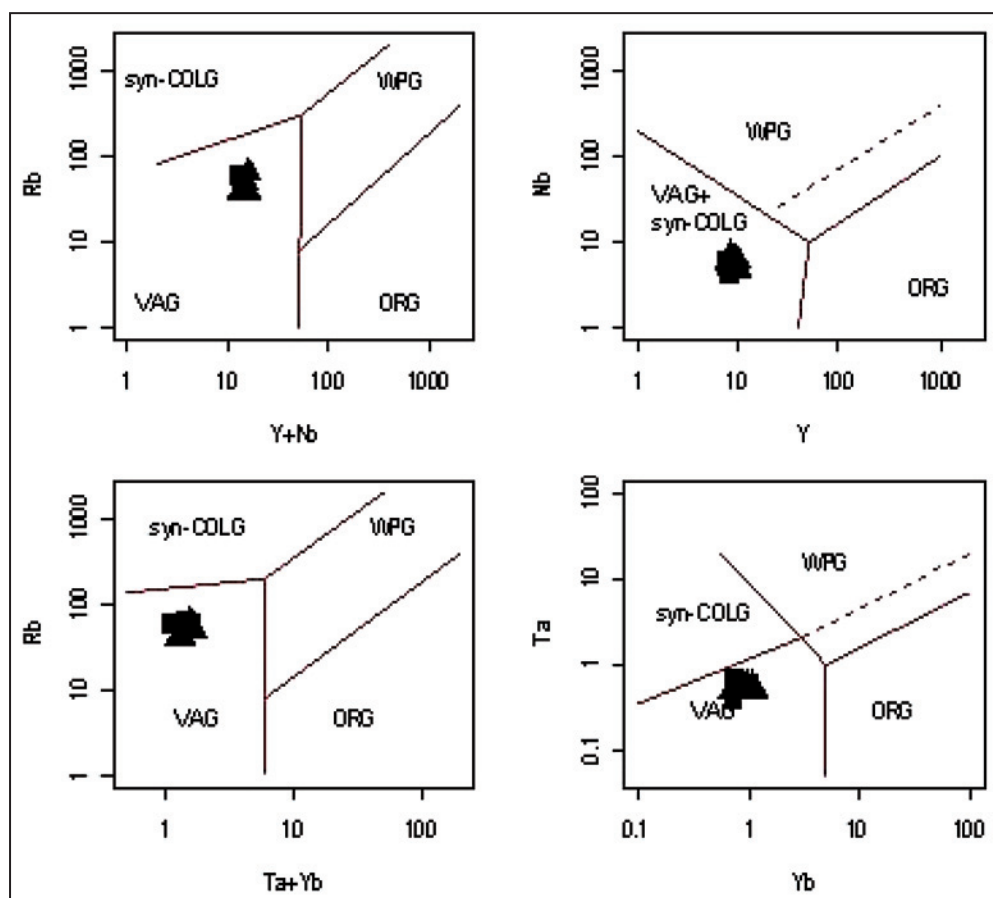


شکل ۱۲ - موقعیت سنگ‌های تونالیتی-گرانودیبوریتی در نمودارهای Schandi & Gorton (2002) هستند (A.C.M. = Active Continental Margins) (نشانه‌ها مانند شکل ۴).

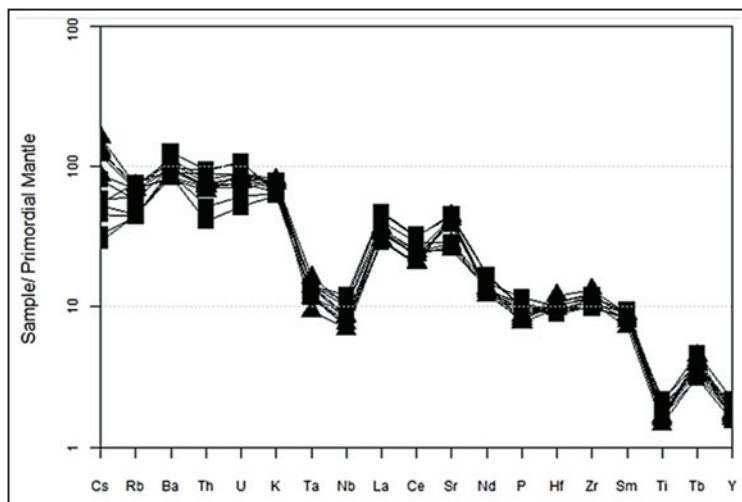




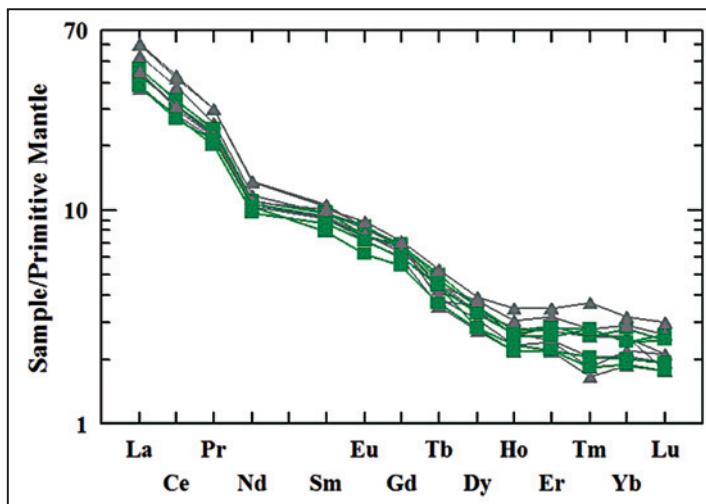
شکل ۱۳- نمودار Rb/Zr در برابر Nb از (Brown et al. 1984)، نمونه‌های توپالیتی-گرانو دیوریتی در محدوده کمان قاره‌ای قرار می‌گیرند (نشانه‌ها مانند شکل ۴).



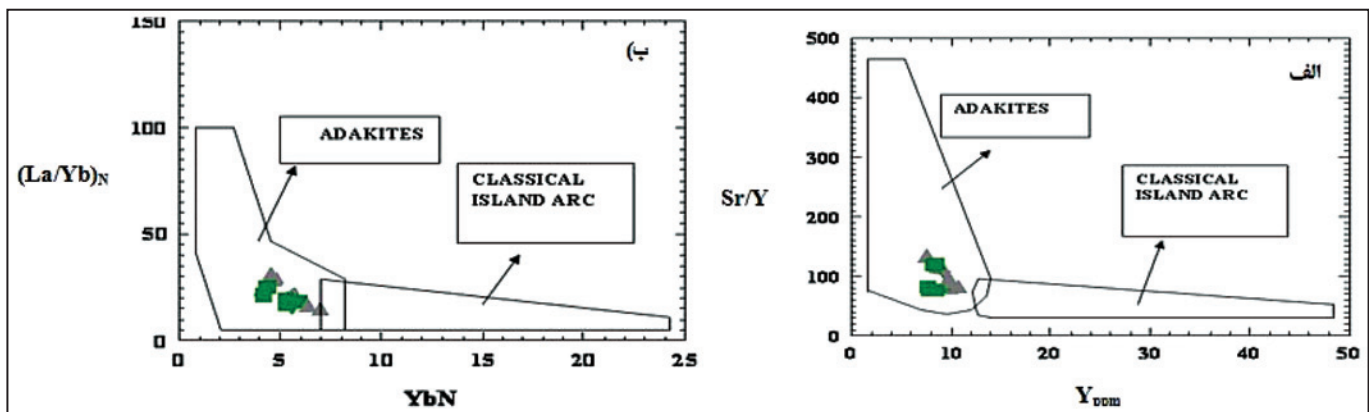
شکل ۱۴- موقعیت سنگ‌های گرانیتوبیدی در نمودارهای Pearce et al. (1989)، همه نمونه‌های سنگ‌های نفوذی در موقعیت کمان آتشفسانی قرار گرفته است (نشانه‌ها مانند شکل ۴).



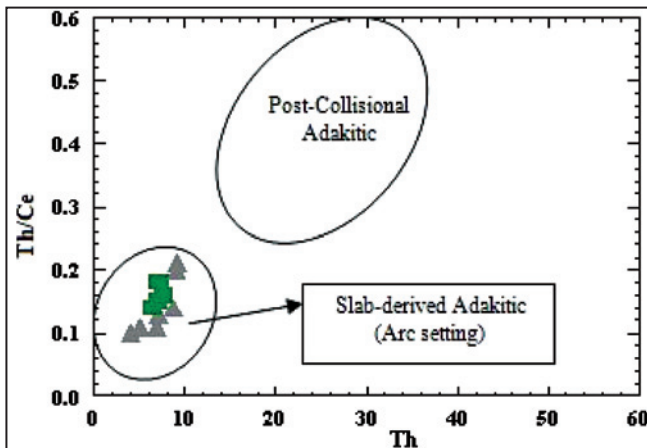
شکل ۱۵- نمودار عکبوطی عناصر کمیاب و فرعی سنگ‌های تونالیتی - گرانودیوریتی که نسبت به گوشته اولیه بهنجار شده‌اند (داده‌های گوشته اولیه از (Sun & McDonough (1989) (نشانه‌ها مانند شکل ۴).



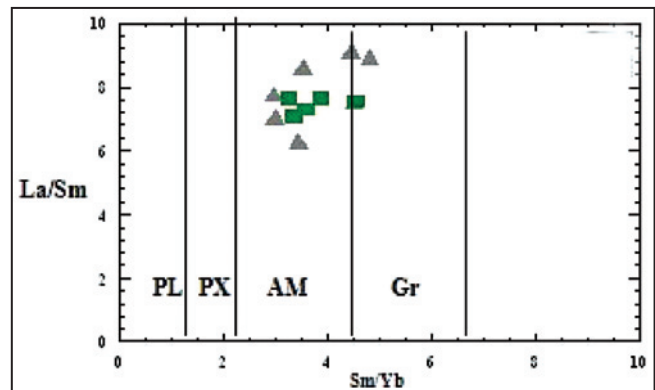
شکل ۱۶- فراوانی عناصر خاکی کمیاب سنگ‌های تونالیتی - گرانودیوریتی که نسبت به گوشته اولیه بهنجار شده‌اند (داده‌های گوشته اولیه از (Sun & McDonough (1989) (نشانه‌ها مانند شکل ۴).



شکل ۱۷- نمودارهای جدا کننده سنگ‌های کالکوآلکالن از آدکیت‌ها، برای سنگ‌های تونالیتی- گرانودیوریتی، الف) Sr/Y در برابر Y (Drummond & Defant, 1990)؛ ب) $\text{La}_\text{N}/\text{Yb}_\text{N}$ در برابر Yb_N (Martin, 1999; Rich et al., 2003) (نشانه‌ها مانند شکل ۴).



شکل ۱۹- نمودار نمودار Th/Ce در برابر Th ، همه نمونه‌های تونالیتی- گرانو-دیوریتی منطقه مورد مطالعه در محدوده آدکیتی‌های با منشأ پوسه اقیانوسی و موقعیت کمان قرار گرفته‌اند (Chung et al., 2005) (نشانه‌ها مانند شکل ۴).



شکل ۱۸- ترکیب کائی‌شناسی سنگ منشأ ماسکای سنگ‌های تونالیتی- گرانو-دیوریتی، نمونه‌ها پایداری آمفیبول و گارنٹ را در منشأ ذوب خود نشان می‌دهند (Kay & Mpodozis, 2002; Haschke & Guenther, 2003). (نشانه‌ها مانند شکل ۴).

جدول ۱- نتایج تجزیه شیمیایی سنگ‌های تونالیت (TO) و گرانو-دیوریتی (GD) سنگ‌های منطقه مورد مطالعه.

Sample	14-1	14-6	23-1	26-6	29-4	37-2	39-2	41-2	43-2	44-3	45-2	70-3
Rock type	TO	TO	TO	TO	TO	GD	GD	GD	TO	GD	TO	GD
SiO_2	64/5	63/6	63	62/7	64	68/3	65/8	67/0	59/0	60/1	58/8	64/5
Al_2O_3	16/40	16/40	16	16/00	16/00	16/20	10/80	16/30	17/6	16/30	17/2	16
Fe_2O_3^*	3/01	3/62	3/49	3/4	3/93	2/22	3/16	3/2	0/33	3/61	0/41	3/04
CaO	4/30	4/79	4/37	4/09	4/77	3/32	3/76	3/39	0/26	3/06	0/8	3/47
MgO	1/29	1/32	1/74	1/81	2/14	0/28	1/17	0/62	2/22	1/34	2/98	1/27
Na_2O	0/01	0	4/91	4/93	0/07	4/22	4/21	4/76	4/34	4/20	4/43	4/07
K_2O	1/90	2/01	2/04	2/41	1/91	2/46	2/31	2/38	2/09	2/4	1/98	2/38
Cr_2O_3	0/03	0/02	0/02	0/03	0/02	0/03	0/02	0/02	0/02	0/02	0/03	0/01
TiO_2	0/42	0/44	0/44	0/02	0/48	0/42	0/41	0/4	0/56	0/4	0/53	0/37
MnO	0/05	0/07	0/06	0/07	0/06	0/01	0/05	0/03	0/08	0/06	0/08	0/05
P_2O_5	0/2	0/21	0/2	0/24	0/19	0/17	0/18	0/17	0/22	0/17	0/21	0/16
LoI	1/94	2/78	1/70	1/34	0/81	1/44	3/02	1/2	2/34	2/07	2/3	2/04
Total	99/9	99/9	98/1	99/0	100	99/8	100	100	99/8	100	99/9	98/6
$\text{K}_2\text{O}/\text{Na}_2\text{O}$	0/39	0/4	0/42	0/49	0/38	0/52	0/00	0/0	0/48	0/0	0/40	0/02
$\text{Na}_2\text{O}+\text{K}_2\text{O}$	7/09	7/16	7/19	7/44	7/03	7/28	7/72	7/21	7/09	7/28	7/07	7/19
FeO	1/18	1/8	1/8	2/08	1/98	1/12	1/62	1/02	2/72	1/83	2/76	1/86
Fe_2O_3	1/18	1/8	1/8	2/08	1/98	1/12	1/62	1/02	2/72	1/83	2/76	1/86
Mg#	0/43	0/43	0/48	0/48	0/53	0/2	0/43	0/30	0/46	0/42	0/02	0/41
Ppm	ppm	ppm	ppm	ppm	ppm	ppm	ppm	ppm	ppm	ppm	ppm	ppm
Ba	780	730	778	701	600	840	732	760	900	789	741	739
Cr	230	170	100	190	130	200	100	140	140	110	220	110
Cs	0/87	0/62	1	1/04	0/06	3/08	2/02	1/60	1/11	2/42	1/04	2/29
Cu	40	38	42	49	30	17	38	42	23	16	58	14
Ga	20/4	21	20/7	21/0	20/3	20/2	20	21	21	18/9	19/9	18
Hf	3/1	3/2	3/2	3/0	3/3	4/2	3/8	3/8	3/3	3/6	3/4	3/4
Mo	2	0	2	3	4	2	4	3	0	3	0	3
Nb	0/0	6/9	7/0	7/1	6/9	7/4	0/3	0/4	4/9	4/7	4/0	3/4
Ni	21	19	24	27	32	12	14	16	20	13	42	10
Pb	12	10	13	14	12	47	10	16	16	16	27	10
Rb	38	37/8	39/0	50/6	38/7	63/0	09/9	09/9	52/2	63	49/4	58/9
Sr	10/10	10/40	10/00	10/00	96/7	58/3	64/0	62/3	94/7	10/20	89/1	97/0
Ta	0/0	0/6	0/6	0/6	0/0	0/7	0/6	0/6	0/6	0/0	0/0	0/4
Th	4/97	6/84	8/73	6/62	3/94	7/7	6/94	6/43	9/11	7/32	8/98	7/01
U	1/64	2/08	2/36	1/87	1/39	2/42	2/34	2/4	2/88	2/22	2/9	2/07
V	76	80	78	94	88	61	64	62	130	74	126	68
W	7	0	8	10	0	7	3	9	7	3	6	3
Y	7/0	9/1	8/6	10	9/3	7/8	8/0	7/7	9/8	8/0	10/7	8/2
Zr	110	116	126	132	108	147	133	136	109	126	113	120
Ti	2020	2620	2640	3120	2880	2520	2420	2400	3320	2400	3180	2220
P	837	916	873	1047	829	742	780	742	960	742	916	798
Sr/Y	134/7	114/3	116/9	66/2	104	74/9	70/9	81/81	69/9	120	83/3	118/3

دادمه جدول ۱

Sample	14-1	14-6	23-1	26-6	29-4	37-2	39-2	41-2	43-2	44-3	45-2	70-3
Rock type	TO	TO	TO	TO	TO	GD	GD	GD	TO	GD	TO	GD
La	۲۳/۰.۷	۳۳	۳۳/۴	۲۹/۲	۲۰/۶	۲۵/۷	۲۵/۶	۲۳/۵	۲۴/۹	۲۱/۳	۲۴/۸	۲۱
Ce	۴۵/۱	۶۰/۲	۶۱/۵	۵۴/۹	۴۰/۳	۴۷/۹	۴۹/۸	۴۴/۷	۴۳/۱	۳۹/۶	۴۴/۳	۳۸/۷
Pr	۴/۸	۹/۱۷	۶/۱۱	۵/۸۶	۴/۴۶	۴/۹۱	۴/۹۵	۴/۶۹	۴/۰۵	۴/۱۶	۴/۶۲	۴/۳۸
Nd	۱۷/۶	۲۱/۹	۲۱/۶	۲۱/۶	۱۷/۶	۱۷/۸	۱۷/۸	۱۷/۲	۱۶/۹	۱۵/۵	۱۷/۰	۱۶/۸
Sm	۳/۱۵	۳/۶۹	۳/۹۵	۳/۷۴	۳/۲۷	۳/۴۲	۳/۳۶	۳/۲۳	۳/۲	۳/۰۲	۳/۵۲	۲/۷۵
Eu	۰/۹۵	۱/۰۸	۱/۰۶	۱/۰۷	۰/۹۹	۰/۹۹	۱/۱	۰/۹۸	۱/۰۱	۰/۹۳	۱/۱۶	۰/۸۲
Gd	۲/۷۱	۳/۱	۳/۱	۳/۲۴	۳/۰۴	۳/۱۵	۳/۱۱	۳/۱۸	۲/۸۹	۲/۷۷	۳/۲۹	۲/۵۲
Tb	۰/۳۱	۰/۴	۰/۳۴	۰/۴۳	۰/۳۷	۰/۳۸	۰/۴۴	۰/۴۱	۰/۳۹	۰/۳۹	۰/۴۶	۰/۳۲
Dy	۱/۵۷	۱/۹۲	۱/۷۸	۲/۰۶	۱/۹۴	۱/۶۱	۲/۰۲	۲/۰۳	۲/۱۷	۱/۸۷	۲/۲۴	۱/۵۸
Ho	۰/۲۸	۰/۳۴	۰/۳	۰/۳۳	۰/۳۶	۰/۳۵	۰/۳۵	۰/۳۳	۰/۳۹	۰/۳۴	۰/۴۵	۰/۲۸
Er	۰/۸۱	۰/۹۲	۰/۹۱	۱/۰۷	۱/۰۲	۰/۸۳	۱/۰۷	۰/۹۷	۱/۲	۱/۰۵	۱/۳	۰/۸۳
Tm	۰/۰۹	۰/۱۱	۰/۱	۰/۱۴	۰/۱۴	۰/۱۱	۰/۱۴	۰/۱۵	۰/۱۵	۰/۱۵	۰/۲	۰/۱
Yb	۰/۷	۰/۷۷	۰/۸۲	۰/۹۶	۰/۹۵	۰/۷۵	۱/۰۳	۰/۹	۱/۰۸	۰/۹	۱/۱۸	۰/۷۱
Lu	۰/۱	۰/۱۱	۰/۱۲	۰/۱۳	۰/۱۲	۰/۱۱	۰/۱۴	۰/۱۵	۰/۱۵	۰/۱۴	۰/۱۷	۰/۱
La/Sm	۷/۵	۸/۹	۹/۱	۸/۶	۹/۳	۷/۵	۷/۷	۷/۳	۷/۸	۷	۷	۷/۶
Sm/Yb	۴/۵	۴/۸	۴/۴	۳/۵	۳/۴	۴/۶	۳/۴	۳/۶	۲/۹	۳/۴	۲/۹	۳/۹
La/Yb	۳۳/۹	۴۲/۹	۴۰/۷	۳۰/۴	۲۱/۶	۲۴/۳	۲۴/۹	۲۶/۱	۲۳	۲۳/۷	۲۱	۲۹/۶
(La/Yb)N	۲۶/۳۹	۳۱	۲۹/۲۵	۲۱/۸۴	۱۵/۵۴	۲۴/۶۴	۱۸	۱۸/۷۲	۱۶/۵۴	۱۶/۹۸	۱۵	۲۱/۱
(Ce/Yb)N	۱۸/۰۰	۲۱/۹	۲۰/۸۰	۱۵/۹	۱۱/۸	۱۷/۸	۱۲/۷۵	۱۳/۸	۱۱/۰۹	۱۲/۲۱	۱۰/۳۴	۱۵/۵
ΣREE	۱۰.۱	۱۳۳/۷	۱۳۴/۸	۱۲۱	۹۴/۹۶	۱۰.۸	۱۰.۸	۱۰.۷/۵	۱۰.۲	۹۲/۱۲	۱۰.۵/۲	۹۰/۱۸

References

- Agard, P., Omrani, J., Jolivet, L. & Moutherneau, F., 2005- Convergence history across Zagros (Iran): constraints from collisional and earlier deformation. International journal of Science. 94: 401-419 .
- Agard, P., Omrani, J., Jolivet, L., Whitechurch, H., Vrielynck, B., Spakman, W., Monie, P., Meyer, B. & Wortel, R., 2011- Zagros orogeny: a subduction-dominated process. Geological Magazines. 1-34 .
- Alavi, M., 2004- Regional stratigraphy of the Zagros fold-thrust belt of Iran and its proforeland evolution. American journal of Science, 304: 1-20.
- Amidi, S. M., Emami, M. H. & Michel, R., 1984- Alkaline character of Eocene volcanism in the middle part of Iran and its geodynamic situation. Geologische Rundschau 73, 917-932.
- Atherton, M. P. & Petford, N., 1993- Generation of sodium-rich magmas from newly undererplated basaltic. Nature, 362: 144-146.
- Berberian, F. & Berberian, M. 1981- Tectono-plutonic episodes in Iran, In Gupta, H. K., Delany, F. M. (Eds.), Zagros, Hindukosh, Himalaya, Geodynamic Evolution.American Geophysical union, Washington, DC, 5-32.
- Berberian, M. & King, G. C., 1981- Towards a paleogeography and tectonics evolution of Iran. Canadian Journal ofEarth Sciences 18, 210-265.
- Brown, G. C., Thorpe, R. & Webb, P. C., 1984- The geochemical characteristics of granitoids in contrasting arcs and comments on magma sources . Journal Geological Society, London, 141: 413-426.
- Castillo, P. R., 2006- An overview of adakite petrogenesis. Chinese Science Bulletin 51, 257-267.
- Chung, S. L., Chu, M. F., Zhang, Y., Zie, Y., Lo, C. H., Lee, T. Y., Ching-Ying Lan, C.Y., Xianhua Li, X., Zhang, O. & Wang, Y., 2005- Tibetan tectonic evolution inferred from spatial and temporal variations in post-collisional magmatism.Earth Sciences Review 68, 173-198.
- Defant, J. & Drummond, S., 1990- Derivation of some modern arc magmas by melting of young subducted lithosphere. Nature, 374, 662-665.
- Defant, M. J. & Kepezhinskas, P., 2001- Evidence suggests slab melting in arc magmas. EOS Trans., 20, American Geophys. Union, Washington, DC., 82: 67-69.

- Dehghani, G. A. & Makris, T., 1984- The gravity field and crustal structure of Iran. *Neues Jahrbuch fur Geologie und Palaontologie-Abhandlungen*, 168 (2-3), 215-229.
- Drummond, M. S. & Defant, M. J., 1990- A model for trondhjemite-tonalite-dacite genesis and crustal growth via slab melting: Archaean to modern comparisons. *Journal of Geophysical Research* 95: 21503-21521.
- Dimitrijevic, M. D., Dimitrijevic, M. N., Djordjevic, M. & Djokovic, I., 1971- Geological Survey of Iran, 1:100,000 Series, Sheet 7250, Anar.
- Ferrow, E., 1968- Ein fortran-program Zur Berechnug der chemischen Analkses von Gesteinen aus der modalalaysn, N.Jb.Min.Mh.27-33.
- Ghadami, G. R., 2008- Petrography, geochemistry and petrogeneses of intrusive and subvolcacies masses (adakitic) in Northwest Share-Babak, Kerman, Ph.D. Thesis, Shaheed Bahonar University of Kerman, Islamic Republic Of Iran 334p.
- Ghadami, G. R., Moradian, A. & Mortazavi, M., 2008- Post-Collisional Plio-Pleistocene Adakitic volcanism in Centeral Iranian Volcanic Belt:Geochemical and geodynamic implications. *Journal of Islamic Republic Of Iran* Vol. 19, No.3, 223-236 p.
- Ghasemi, A. & Talbot, C. J., 2006- A new tectonic scenario for the Sanandaj-Sirjan Zone (Iran). *Journal of Asian Earth Sciences* 26, 683-693.
- Giese, P., Makris, J., Akashe, B., Rower, P., Letz, H. & Mostaanpour, M., 1983- M. Seismic crustal studies in southern Iran between the central Iran and Zagros belt. *Geodynamic Project (Geotraverse) in Iran (Final report)*. Geological Survey of Iran, Report 51, 71-88.
- Gill, J. B., 1981- Orogenic andesites and plate tectonics. Springer Verlag, Berlin. 390p.
- Green, T. H., 1989- Anatexis of mafic crust and high pressure crystallization of andesite. In: Thorpe RS, ed. *Andesites*. New York. John Wiley, 465-478.
- Green, T. H., Sie, S. H., Ryan, C. G. & Cousense, R. D., 1989- Proton microprobe-determined partitioning of Nb, Ta, Zr, Sr, and Y between garnet, clinopyroxene and basaltic magmas at high pressure and temperature. *Chemical. Geology*, 74: 201-216.
- Haschke, M. R. & Guenther, A., 2003- Balancing crustal thickening in arcs by tectonic vs. magmatic means. *Geology*, 31: 933-936.
- Irvine, T. N. & Baragar, W. R. A., 1971- A guide to the chemical classification of the common volcanic rocks. *Canadian Journal of Earth Sciences*, 8, 523-548.
- Jahangiri, A., 2007- Post-collisional Miocene adakitic volcanism in NW Iran: Geochemical and geodynamic implications. *Journal of Asian Earth Sciences* 30, 433-447.
- Jung, D., Kursten, M. & Tarkian, M., 1976- Post-Mesozoic volcanism in Iran and its relation to the subduction of the Afro-Arabian under the Eurasian plate. In: Pilger, A., Rosler, A. (Eds.), *A far Between Continental and Oceanic Rifting*. Schweizerbartsche verlagbuchhand-iung Stuttgart, 175-181.
- Kay, S. M. & Mpodozis, C., 2002- Magmatism as a probe to Neogene shallowing of the Nazca plate beneath the modern Chilean flat-slab, *Journal Sciences American Earth Sciences*, 15: 39-57.
- Keskin, M., 2003- Magma generation by slab steeping and break-off beneath a subduction-accretion complex: an alternative model for collision-related volcanism in eastern Anatolia. *Turkey, Geophysical Research Letters*, 30, 46-80.
- Maniar, P. D. & Piccoli, P. M., 1989- Tectonic discrimination of granitoids. *Geol.Soc. Am. Bull.*, 101: 635-643 (1989).
- Martin, H. & Rollinson, H., 2005- Geodynamic controls on adakite. TTG and Sanukitoid genesis:implications for modeles of crust formation. *Lithos*, 79, 1-4.
- Martin, H., 1999- The adakitic magmas:modern analogues of Archaean granitoids. *Lithos* 46(3),411-429.
- Martin, H., Smithies, R. H., Rapp, R. & Moyen, J. F., 2004- Champion. An overview of adakite-tonalite-trondhjemite-granodiorite (TTG), an Sanukitoid: relationships and some implications for crustal evolution. *Lithos*, 79, 1-24.
- Maury, R. C., Sajona, F., Pubellier, M., Bellon, H., & Defant, M., 1996- Fusion de la croute oceanique dans las zones de subduction/collision recentes: l example de Mindanao (Philippines), *Bulletin de la Societe Geologique de France* 167,579-595.
- McCluske, S., Balassanain, S., Baraka, A., Dmir, C., Ergintav, I., Gurkan, O., Hamburger, M., Hurst, K., Kahle, H., Kastens, K., Kekelidze, G., King, R., Kotzev, V., Lenk O., Mahmoud , S ., Nadariya, M., Ouzounis. A., Toksoz, M. N. & Veis, G., 2003- Global positioning system constrains on plat Kinematics and dynamics in the eastern Mediterranean and Caucasus. *Journal of Geophys. Res.*, 105: 5695-5719
- Mohajjel, M., Fergusson, C. L. & Sahandi, M. R., 2003- Cretaceous-Tertiary convergence and continental collision, Sanandaj-Sirjan Zone ,western Iran. *Journal of Asian Earth Sciences* 21, 397-412.
- Moradian, A., 1997- Geochemistry, Geochronology and petrography of Feldspathoid Bearing Rocks in Urumieh-Dokhtar Volcanic Belt of Iran Unpublished Ph. D. thesis. University of Wollongong, Australia, 412 pp.
- O'Connor, J. T., 1965- A classification for quartz-rich igneous rocks based on feldspar ratios, US Geology Survy Prof. Paper., 525-B, 79-84.
- Omran, J., Agard, P., Whitechurch, H., Benoit, M., Prouteau, G., & Jolivet, L., 2008- Arc-magmatism and subduction history beneath the Zagros Mountains, Iran: A new report of adakites and geodynamic consequences. *Lithos* 106, 380-398.
- Oyarzun, R., Marques, A., Lillo , J., Lopez ,I., & Rivera, S., 2002- Gant versus small porphyry copper deposits of Cenozoic age in northern Chile: adakitic versus normal calc-alkalin magmatism. *Mineral.Deposita*. 36:794-798.
- Paul, A., Kaviani, A., Hatzfeld, D., Verjene, J. R. M. & Mokhtari, M., 2006- Seismological evidence for crustal scale thrusting in the Zagros mountain belt (Iran).*Geophysical Journal International* 166, 227-37.

- Peacock, S. M., 1996- Thermal and petrologic structure of subduction zones. In: Bebout, G.E., Scholl, D.W., Kirby, S.H., and Platt, J.P. (eds.), Subduction: Top to Bottom: Washington, DC", American Geophysical Union, Geophys. Mon. 96: 119-133.
- Peacock, S. M., Rushmer, T. & Thompson, A. B., 1994- Partial melting of subducting oceanic crust. Earth and Planetary Science Letters 121, 224-227.
- Pearce, J. A. & Parkinson, I. J., 1993- Trace element models for mantle melting: application to volcanic arc petrogenesis. In: Prichard, H. M., Albaster, T., Harris, N. B. W., Neary, C. R. (Eds.), Magmatic Processes in Plate Tectonics. Geological Society of London Special Publication, 76, 373-403.
- Pearce, J. A. Harris, N. B. W. & Tindle, A. G., 1989- Trace element discrimination diagrams for the tectonic interpretation of granitic rocks. Journal of Petrology, 25: 956-983
- Peccerillo, A. & Taylor, S. R., 1976- Geochemistry of Eocene calc- alkaline volcanic rocks from the Kastamonu area, northern Turkey. Contribution Mineralogy and Petrology, 58: 63-81.
- Rapp, R. P. & Watson, E. B., 1995- Dehydration melting of metabasalt at 8-32 k-bar: implications for continental growth and crustal-mantle recycling. Journal of Petrology 36, 891-931.
- Rapp, R. P., Long, X. & Shimizu, N., 2002- Experimental constraints on the origin of potassium-rich adakites in eastern China. Acta Petrologica Sinica 18, 293-302.
- Reich, M., Parada, M., Palacios, C., Dietrich, A., Schultz, F. & Lehman, B., 2003- Adakite-like signature of Late Miocene intrusions at the Los Pelambres giant porphyry copper deposit in the Andes of central Chile: metallogenetic implications. Mineral. Deposita, 38: 876-885.
- Rosu, E., Seghedi, I., Downes, H., Alderton, D. H. M., Szakacs, A., Pecskay, Panaiotu, C. E. & Nedelcu, L., 2004- Extension-related Miocene calc-alkaline magmatism in the Apuseni Mountains, Romania: Origin of magmas. Schweizerische Mineralogische und Petrographische Mitteilungen 84, 153-172.
- Sajona, F. G., Maury, R. C., Publlier, M., Letirrier, J., Bellon, H. & Cotton, J., 2000- Magmatic source enrichment by slab-derived melts in a young post-collision setting, Central Mindanao (Philippines). Lithos, 54, 173-206.
- Schandl, E. S. & Gorton, M. P., 2002- Application of high field strength elements to discriminate tectonic setting in environments, Economic Geology 97: 629-642.
- Shahabpour, J., 2007- Island-arc affinity of the Central Iranian Volcanic Belt. Journal of Asian Earth Sciences, 30, 652-665.
- Shelly, D., 1993- Igneous and metamorphic rocks under the microscope. Chapman and Hall, 445p.
- Sun, S. S. & McDonough, W. F., 1989- Chemical and isotopic systematics of oceanic basalts: implications for mantle composition and processes. In: Saunders, A.D., and Norry, M.J., (Eds.), magmatism in ocean basins. Geol. Soc. London. Special Publication, 42: 313-345.
- White, A. J. R. & Chappel, B. W., 1983- Granitoid types and their distribution in Lachlan fold belt, southeastern Australia. In: Roddick, J.A., (Ed.), Circum-Pacific plutonic terrains. Geological Society of America Mem., 159: 21-34.
- Willson, M., 1989- Igneous Petrogenesis, Global Tectonic Approach, Harper Collins Academic, 466p.
- Wolf, M. B. & Wyllie, P. J., 1994- Dehydration-melting of amphibolite at 10 Kbar- the effects of temperature and time. Contribution Mineralogy and Petrology, 115: 369-383.
- Xu, J., Shinjo R., Defant, M. J., Wang, Q. & Rapp, R. P., 2002- Origin of Mesozoic adakitic intrusive rocks in the ningzhen area of east China: partial melting of delaminated lower continental crust. Geological Society of America Bulletin 30, 1111-1114.
- Xu, W. L., Wang, Q., Wang, D. Y., Guo J. H. & Pei, F. P., 2006- Mesozoic adakitic rocks from the Xuzhou-Suzhou area, eastern China: evidence for partial melting of delaminated lower continental crust. Journal of Asian Earth Sciences 27, 454-564.

Geochemistry and Petrogenesis of Oligo-Miocene Plutonic Rock Bodies, Northwest of Shahr-e-Babak, Kerman Province, Iran

Gh. R. Ghadami ^{1*}, A. Moradiane Shahre Babaki ² & M. Mortazavi ¹

¹ Assistant Professor, Department of Geology, Hormozgan University, Hormozgan, Iran

² Associate Professor, Department of Geology, Shahid Bahonar University, Kerman, Iran

Received: 2013 March 13

Accepted: 2013 June 11

Abstract

More than 20 tonalitic to granodioritic plutonic domes, Oligo-Miocene in age, have intruded into the older volcanic rocks, in southeast of Urumieh- Dokhtar Magmatic Belt, northwest of Shahr-e-Babak. These rocks have granoporphyritic texture and consist of Phenocrysts of plagioclase, amphiboles and biotites. The geochemical data show calc-alkaline affinities of these rocks , which formed in volcanic arc (I type) of an active continental margin. These data also show LILE and LREE enriched normalized multi-element patterns, and depleted of HFSE (Nb, Ta and Ti). Primitive mantle-normalized REE patterns display a dramatic decrease from LREE to HREE without any Eu anomaly. They have higher SiO₂, Al₂O₃ and Sr content and Sr/Y and La/Yb ratios and lower MgO, Y and Yb contents than the normal calc-alkaline rocks, which reveal their adakitic characteristics. The high content of Sr, LREE enrichments, absente of Eu anomaly, HREE depletion, Y and Yb depletion pattern suggest the existence of garnet, amphibole and absence of plagioclase in the source rocks. Our data suggest that the plutons produced by partial melting of amphibole-eclogite or garnet-amphibolite, due to the subduction of Neotethys oceanic slab under the Central Iran continent.

Keywords: Tonalite, Granodiorite, Neo-Tethys, Adakite, Urumieh-Dokhtar.

For Persian Version see pages 157 to 170

*Corresponding author: Gh. R. Ghadami; E-mail: ghadamigholamreza@yahoo.com